

Exemples de bifurcations dans des modèles neuronaux

Olivier FAUGERAS

6 novembre 2008

Plan

Bifurcations de codimension 1 d'équilibres

Bifurcations de codimension 1 de cycles limites

Bifurcation de codimension 2 : Bogdanov-Takens

Plan

Bifurcations de codimension 1 d'équilibres

Bifurcations de codimension 1 de cycles limites

Bifurcation de codimension 2 : Bogdanov-Takens

Plan

Bifurcations de codimension 1 d'équilibres

Bifurcations de codimension 1 de cycles limites

Bifurcation de codimension 2 : Bogdanov-Takens

Rappel sur le modèle $I_{Na,p} + I_K$

C'est une version simplifiée bidimensionnelle du modèle de Hodgkin-Huxley dans laquelle on suppose

- ▶ Un courant de fuite.
- ▶ Un courant Na^+ persistant avec une cinétique instantanée.
- ▶ Un courant K^+ persistant avec une cinétique plus lente

$$C\dot{V} = I - \overbrace{\bar{g}_K n (V - E_K)}^{I_K} - \overbrace{\bar{g}_{Na} m_\infty(V) (V - E_{Na})}^{I_{Na,p} \text{ instantane}} - \overbrace{g_L (V - E_L)}^{I_L}$$

$$\dot{n} = \frac{n_\infty(V) - n}{\tau(V)}$$

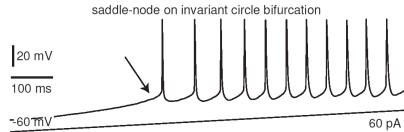
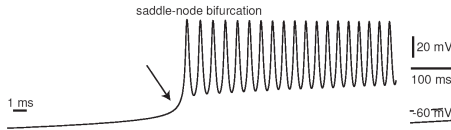
Rappel sur le modèle $I_{Na,p} + I_K$

$$(m, n)_\infty = \frac{1}{1 + \exp[(V_{1/2} - V)/k]}$$

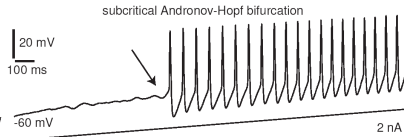
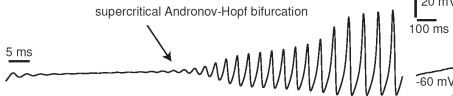
Paramètres ($\tau(V) = 1$)

| | C | I | E_L | g_L | \bar{g}_{Na} | g_K | $V_{1/2}(m_\infty)$ | k | $V_{1/2}(n_\infty)$ | k |
|-----|-----|-----|---------|-------|----------------|-------|---------------------|-----|---------------------|-----|
| (a) | 1 | 0 | $-80mV$ | 8 | 20 | 10 | -20 | 15 | -25 | 5 |
| (b) | 1 | 0 | $-78mV$ | 8 | 20 | 10 | -20 | 15 | -45 | 5 |

Quatre exemples de bifurcations de codimension 1



Izhikevich 2006



Izhikevich 2006

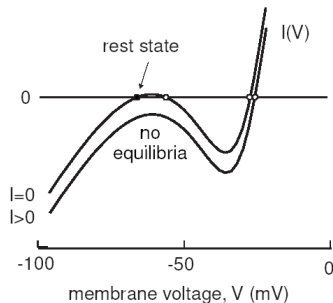
Propriétés neuronales des bifurcations

| Bifurcation of an equilibrium | fast subthreshold oscillations | amplitude of spikes | frequency of spikes |
|---------------------------------|--------------------------------------|-------------------------------|-------------------------------|
| saddle-node | no | non-zero | non-zero |
| saddle-node on invariant circle | no | non-zero | $A\sqrt{I-I_b} \rightarrow 0$ |
| supercritical Andronov-Hopf | yes | $A\sqrt{I-I_b} \rightarrow 0$ | non-zero |
| subcritical Andronov-Hopf | yes | non-zero | non-zero |

Izhikevich 2006

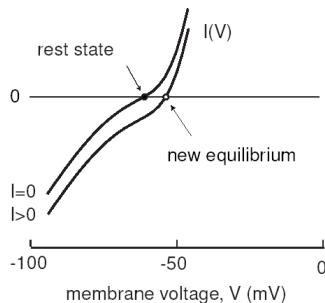
Courbes $I - V$ du modèle $I_{Na,p} + I_K$

saddle-node bifurcation



(a)

Andronov-Hopf bifurcation



(b)

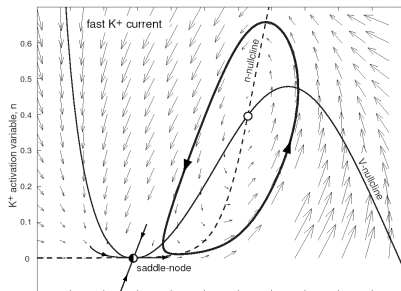
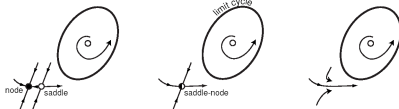
Izhikevich 2006

L'injection d'un courant positif translate la courbe vers le bas : à gauche (seuil haut) bifurcation noeud-col, à droite (seuil bas) bifurcation d'Andronov-Hopf (très probablement).

Bifurcation noeud-col (pli)

Modèle $I_{Na,p} + I_K$ avec seuil haut, $\tau(V) = 0.152$.

(a) saddle-node bifurcation



Izhikevich 2006

- ▶ La bifurcation pli a lieu pour $l_p = 4.51$,
 $(V_p, n_p) = (-61, 0.0007)$.
- ▶ On peut calculer la variété centrale.
- ▶ On vérifie que

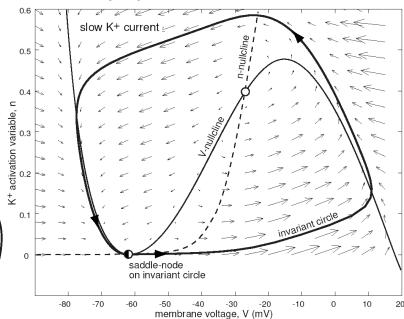
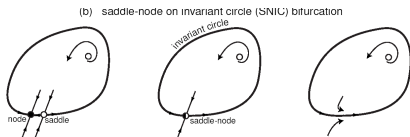
$$a = \frac{1}{2} f_{VV}(V_p, l_p) \neq 0 \quad c = f_l(V_p, l_p) \neq 0$$

- ▶ On obtient la forme

$$\dot{V} = c(l - l_p) + a(V - V_p)^2 \quad a = 0.1887, c = 1$$

Bifurcation noeud-col sur cercle invariant

Modèle $I_{Na,p} + I_K$ avec seuil haut, $\tau(V) = 1$.

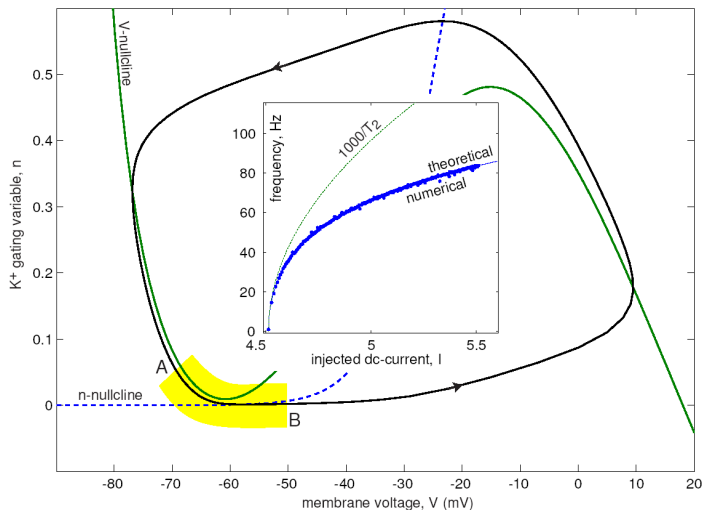


Izhikevich 2006

Bifurcation noeud-col sur cercle invariant

- ▶ On peut estimer le temps passé entre A et B (voir figure suivante) $T_2 = \frac{\pi}{\sqrt{ac(l-l_p)}}$.
- ▶ La durée du potentiel d'action est $T_1 = 4.7ms$.
- ▶ D'où la fréquence $\omega = \frac{1000}{T_1+T_2}$.

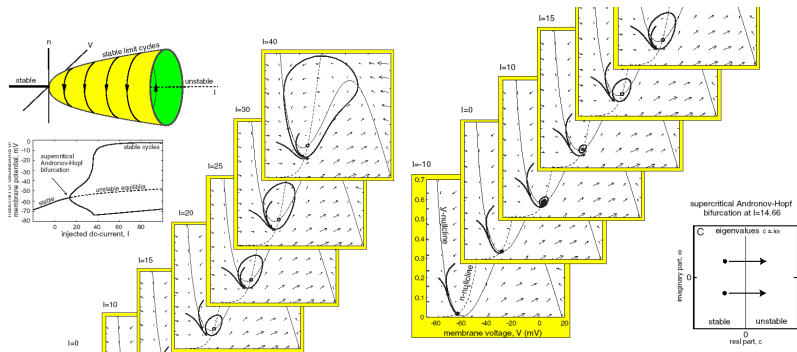
Bifurcation noeud-col sur cercle invariant



Izhikevich



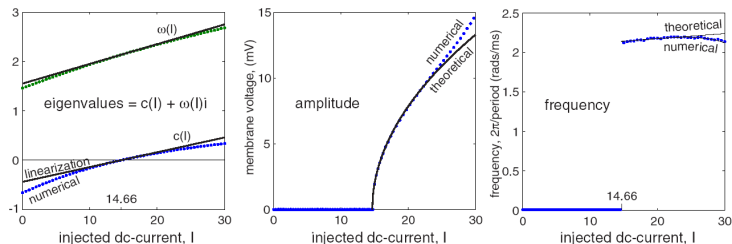
Bifurcation d'Andronov-Hopf sur-critique



Izhikevich 2006

Bifurcation d'Andronov-Hopf sur-critique

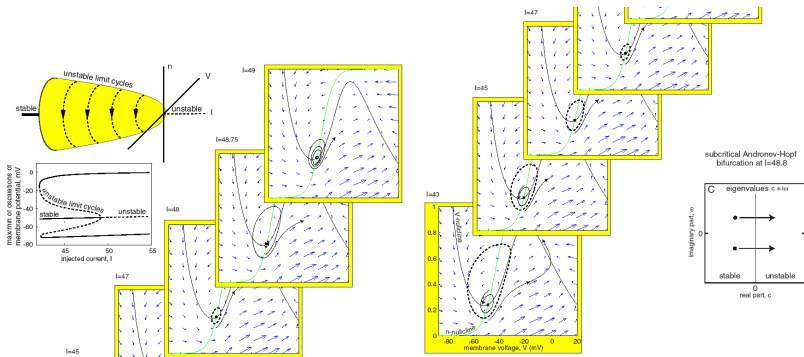
Modèle $I_{Na,p} + I_K$ avec seuil bas.



Izhikevich

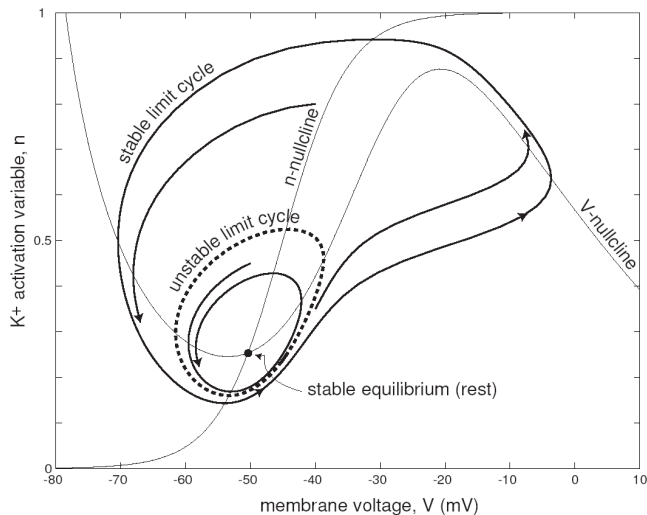
2006

Bifurcation d'Andronov-Hopf sous-critique

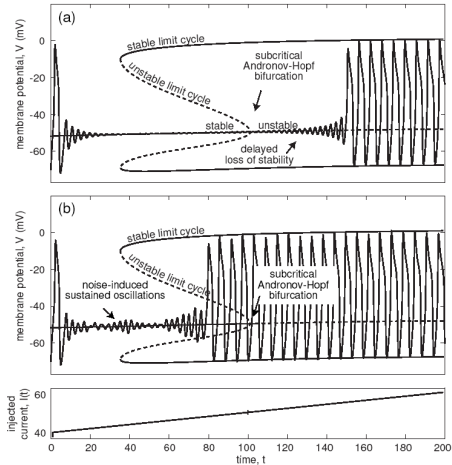


Izhikevich 2006

Bistabilité dans le modèle $I_{Na,p} + I_K$



Perte différée de stabilité

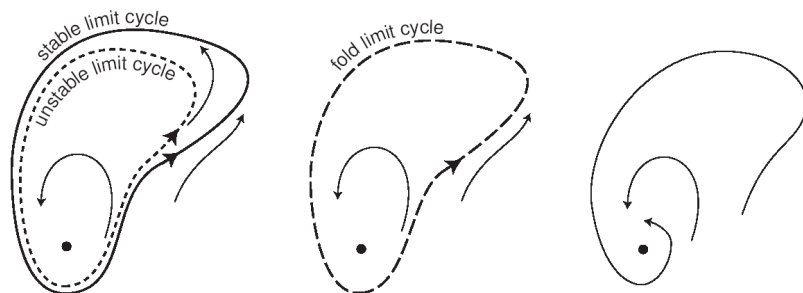


Izhikevich 2006

Perte différée de stabilité

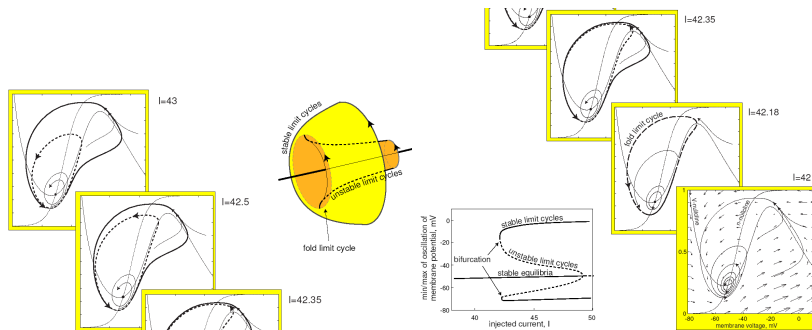
- ▶ La bifurcation a lieu a $t = 100$.
- ▶ Le flot est très faible au voisinage de l'équilibre devenu instable.
- ▶ Si on ajoute du bruit, le système finit par échapper au bassin attracteur du foyer attractif avant la bifurcation d'Andronov-Hopf.

Bifurcation de pli : principe



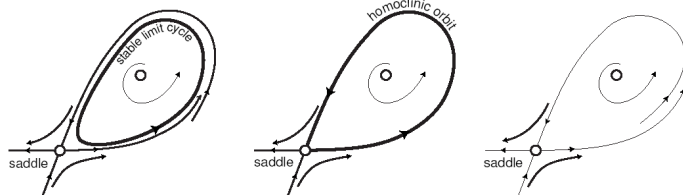
Izhikevich 2006

Bifurcation de pli dans le modèle $I_{Na,p} + I_K$

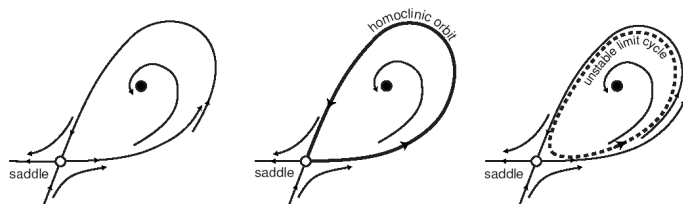


Izhikevich 2006

Bifurcation col/orbite homocline : principe



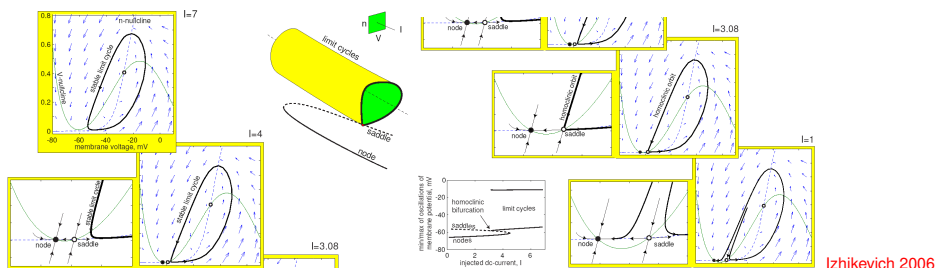
a. supercritical saddle homoclinic orbit bifurcation



b. subcritical saddle homoclinic orbit bifurcation

Bifurcation col/orbite homocline dans le modèle

$$I_{Na,p} + I_K$$



Izhikevich 2006

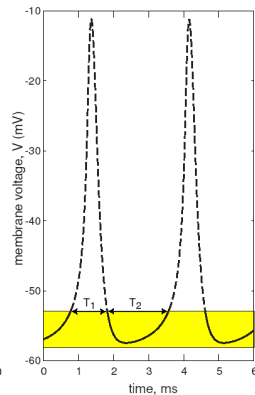
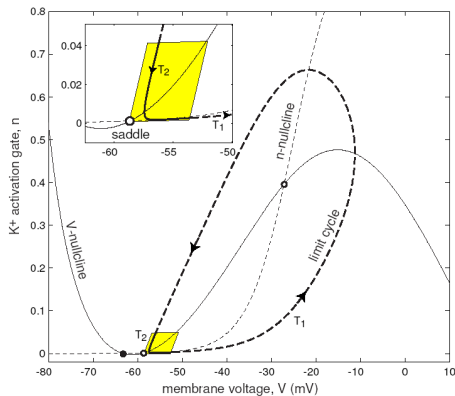
Bifurcation col/orbite homocline dans le modèle

$$I_{Na,p} + I_K$$

- ▶ La période du cycle limite est $T = T_1 + T_2$.
- ▶ T_1 est à peu près constant.
- ▶ $T_2 = -\frac{1}{\lambda_1} \log\{\tau(I - I_b)\}$
- ▶ D'où $T(I) = -\frac{1}{\lambda_1} \log\{\tau_1(I - I_b)\}$
- ▶ λ_1 est la valeur propre (> 0) au col.
- ▶ $\tau_1 = \tau e^{-\lambda_1 T_1}$. τ dépend de la taille du voisinage (voir figure suivante)

Bifurcation col/orbite homocline dans le modèle

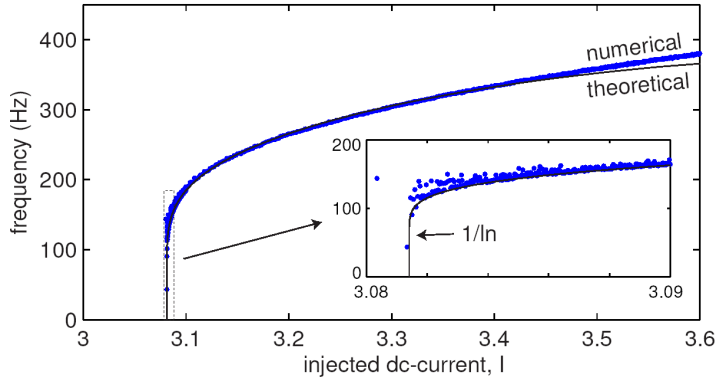
$$I_{Na,p} + I_K$$



Izhikevich 2006

Bifurcation col/orbite homocline dans le modèle

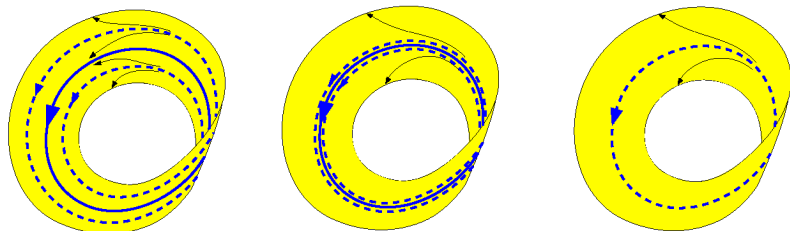
$$I_{Na,p} + I_K$$



Izhikevich 2006

Bifurcation de clapet : principe

Une orbite périodique stable est entourée par une orbite périodique instable de période double.

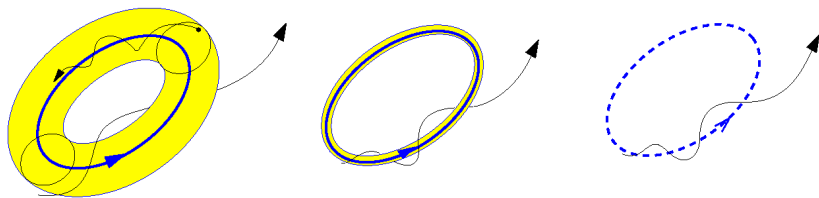


Subcritical Flip Bifurcation

Izhikevich 2006

Bifurcation de Neimark-Sacker : principe

Une orbite périodique stable est entourée par un tore invariant instable.



Subcritical Neimark-Sacker Bifurcation

Izhikevich 2006

Principe de la bifurcation de Bogdanov-Takens (BT)

Théorème

Soit le système

$$\dot{x} = f(x, \alpha), \quad x, \alpha \in \mathbb{R}^2, \quad f \text{ régulière}, \quad f(0, 0) = 0$$

avec en $(0, 0)$ deux valeurs propres nulles $\lambda_{1,2} = 0$. Si les conditions de genericité

- ▶ $A(0) = f_x(0, 0) \neq 0$, $a_{20}(0) + b_{11}(0) \neq 0$, $b_{20}(0) \neq 0$,
- ▶ l'application $(x, \alpha) \rightarrow \left(f(x, \alpha), \operatorname{tr} \left(\frac{\partial f(x, \alpha)}{\partial x} \right), \det \left(\frac{\partial f(x, \alpha)}{\partial x} \right) \right)$ est régulière en $(0, 0)$,

sont satisfaites alors le système est localement topologiquement équivalent au système

$$\begin{cases} \dot{\eta}_1 &= \eta_2 \\ \dot{\eta}_2 &= \beta_1 + \beta_2 \eta_1 + \eta_1^2 + s \eta_1 \eta_2 \end{cases}, \quad s = \operatorname{signe} \frac{a_{20}(0) + b_{11}(0)}{b_{20}(0)} = \pm 1$$

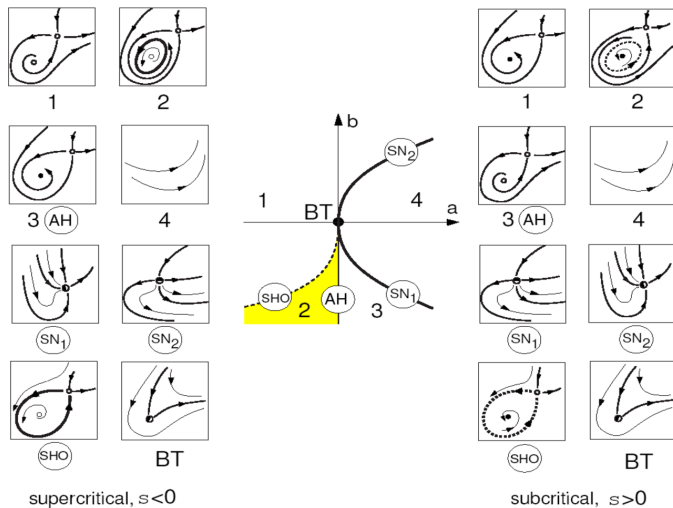


Principe de la bifurcation de Bogdanov-Takens (BT)

- ▶ Soient $v_{0,1}$ (resp. $w_{0,1}$) deux vecteurs de \mathbb{R}^2 tels que $A(0)v_0 = 0$, $A(0)v_1 = v_0$ (resp. idem avec $A(0)^T$).
- ▶ On normalise de manière à ce que $\langle v_0, w_0 \rangle = \langle v_1, w_1 \rangle = 1$.
- ▶ On a $\langle v_0, w_1 \rangle = \langle v_1, w_0 \rangle = 0$.
- ▶ On définit alors $y_0 = \langle x, w_0 \rangle$ et $y_1 = \langle x, w_1 \rangle$ et on a

$$\begin{cases} a_{20}(\alpha) &= \left. \frac{\partial^2}{\partial y_1^2} \langle f(y_1 v_0 + y_2 v_1, \alpha), w_0 \rangle \right|_{y=0} \\ b_{20}(\alpha) &= \left. \frac{\partial^2}{\partial y_2^2} \langle f(y_1 v_0 + y_2 v_1, \alpha), w_1 \rangle \right|_{y=0} \\ b_{11}(\alpha) &= \left. \frac{\partial^2}{\partial y_1 \partial y_2} \langle f(y_1 v_0 + y_2 v_1, \alpha), w_1 \rangle \right|_{y=0} \end{cases}$$

Diagramme de bifurcation de BT



Izhikevich 2006

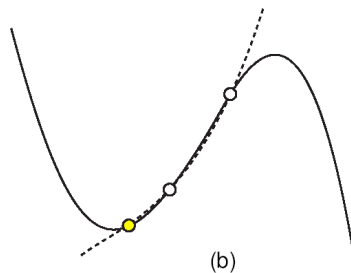


Diagramme de bifurcation de BT

- ▶ AH Andronov-Hopf
- ▶ SN Noeud-Col
- ▶ SHO col-orbite homocline

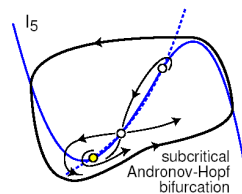
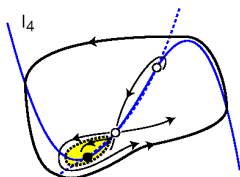
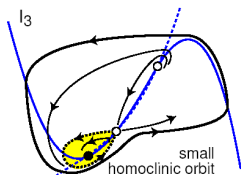
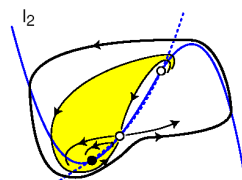
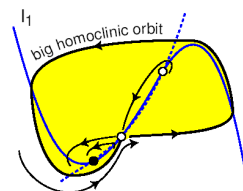
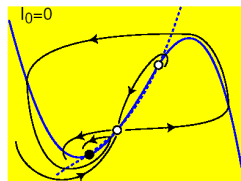
Remarques

- ▶ Il y a aussi une bifurcation col/orbite homocline près du point BT.
- ▶ Cette bifurcation peut apparaître dans les modèles neuronaux de dimension 2.



Izhikevich 2006

Un exemple (BT sous-critique)



Izhikevich 2006

Un exemple (BT sous-critique)

- ▶ $I_{k+1} > I_k$.
- ▶ I_2 Bogdanov-Takens.
- ▶ Le diagramme de phase I_3 est localement topologiquement équivalent à SHO.
- ▶ Le diagramme de phase I_5 est localement topologiquement équivalent à AH.
- ▶ Pour $I_6 > I_5$ le foyer instable disparaît avec le col via SN1.

